

# Rapport MLRF

BAZAN Corentin  
ROSARD Simon

Classification sur la base de données CIFAR-10



5 juillet 2023

# Table des matières

<b>1</b>	<b>Lien Repo GIT</b>	<b>2</b>
<b>2</b>	<b>Introduction</b>	<b>2</b>
<b>3</b>	<b>Présentation du dataset</b>	<b>2</b>
<b>4</b>	<b>Etat de l'art</b>	<b>3</b>
<b>5</b>	<b>Méthodes d'extraction et modèles utilisés</b>	<b>3</b>
<b>6</b>	<b>Extraction de couleurs au format HSV</b>	<b>4</b>
6.1	Random Forest . . . . .	4
6.1.1	Recherche des hyperparamètres . . . . .	4
6.1.2	Précision obtenue et visualisation . . . . .	4
6.2	Régression logistique . . . . .	6
6.2.1	Recherche des hyperparamètres . . . . .	6
6.2.2	Précision obtenue et visualisation . . . . .	7
6.3	SGD Classifier . . . . .	9
6.3.1	Recherche des hyperparamètres . . . . .	9
6.3.2	Précision obtenue et visualisation . . . . .	10
6.4	Interprétation des résultats . . . . .	12
<b>7</b>	<b>Extraction HOG (Histogram of Gradients)</b>	<b>13</b>
7.1	Random Forest . . . . .	13
7.1.1	Recherche des hyperparamètres . . . . .	13
7.1.2	Précision obtenue et visualisation . . . . .	13
7.2	Régression logistique . . . . .	15
7.2.1	Recherche des hyperparamètres . . . . .	15
7.2.2	Précision obtenue et visualisation . . . . .	15
7.3	SGD Classifier . . . . .	17
7.3.1	Recherche des hyperparamètres . . . . .	17
7.3.2	Précision obtenue et visualisation . . . . .	17
7.4	Interprétation des résultats . . . . .	19
<b>8</b>	<b>Extraction sous forme de vecteurs aplatis</b>	<b>19</b>
8.1	Random Forest . . . . .	20
8.1.1	Recherche des hyperparamètres . . . . .	20
8.1.2	Précision obtenue et visualisation . . . . .	20
8.2	Régression logistique . . . . .	22
8.2.1	Recherche des hyperparamètres . . . . .	22
8.2.2	Précision obtenue et visualisation . . . . .	22
8.3	SGD Classifier . . . . .	24
8.3.1	Recherche des hyperparamètres . . . . .	24
8.3.2	Précision obtenue et visualisation . . . . .	24
8.4	Interprétation des résultats . . . . .	26
<b>9</b>	<b>Résumé des précisions</b>	<b>27</b>
<b>10</b>	<b>Conclusion</b>	<b>27</b>

## 1 Lien Repo GIT

Lien : <https://github.com/FullNebulon/mlrf>

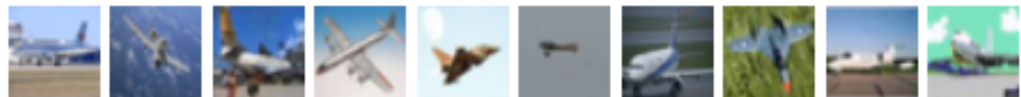
## 2 Introduction

L'objectif principal de ce projet est de classer les images du dataset CIFAR-10, un ensemble bien connu et largement utilisé dans le domaine de l'apprentissage automatique et de la vision par ordinateur. Nous utiliserons 3 modèles différents et comparerons les résultats obtenus.

## 3 Présentation du dataset

Le dataset CIFAR-10 est composé de 60000 images en couleur de taille 32x32, réparties en 10 classes, avec 6000 images par classe. Les classes sont totalement mutuellement exclusives, allant des voitures aux chats, en passant par les avions et les oiseaux. Voici quelques exemples des images que l'on peut trouver au sein de ce dataset :

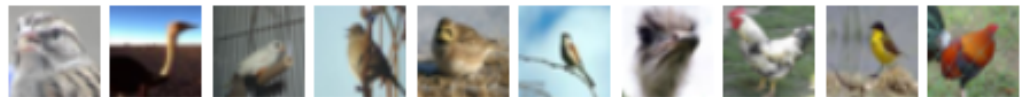
**airplane**



**automobile**



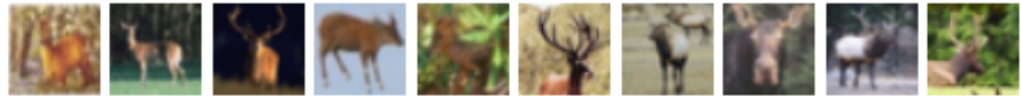
**bird**



**cat**



**deer**



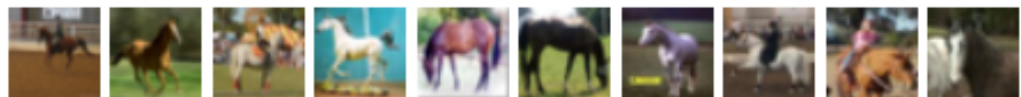
**dog**



**frog**



**horse**



**ship**



**truck**



## 4 Etat de l'art

Depuis son introduction en 2009, le dataset CIFAR-10 a été un banc d'essai populaire pour de nombreux algorithmes de classification d'images. Diverses approches ont été explorées, des techniques traditionnelles d'apprentissage automatique aux architectures de réseaux neuronaux profonds.

Au départ, les méthodes traditionnelles d'apprentissage automatique, telles que les SVM (Support Vector Machines), le k-NN (k-Nearest Neighbors) et les forêts aléatoires, étaient fréquemment utilisées. Ces techniques reposent souvent sur l'extraction manuelle de caractéristiques des images, comme les histogrammes de couleurs, le SIFT (Scale-Invariant Feature Transform), le HOG (Histogram of Oriented Gradients), pour ensuite les utiliser comme entrées de ces algorithmes de classification.

Cependant, avec l'avènement des réseaux de neurones convolutifs (Convolutional Neural Networks, CNNs) et l'explosion de l'apprentissage profond, l'approche a évolué. Les CNNs ont prouvé leur efficacité en matière de vision par ordinateur, étant capables d'apprendre automatiquement des caractéristiques pertinentes à partir des images brutes, ce qui élimine le besoin d'une étape d'extraction de caractéristiques manuelle. Des architectures CNN comme LeNet, AlexNet, VGGNet, GoogLeNet et ResNet ont toutes été appliquées avec succès sur le CIFAR-10, avec une amélioration progressive des performances au fil du temps.

Les techniques d'augmentation des données, comme les rotations, les décalages, les inversions et les zooms aléatoires, sont également couramment utilisées pour augmenter la taille du jeu de données d'entraînement et réduire le surapprentissage. De plus, des techniques de régularisation comme le dropout et la normalisation par lots ont été appliquées pour améliorer les performances du modèle.

Plus récemment, l'utilisation de l'apprentissage par transfert a gagné en popularité. Cette approche consiste à pré-entraîner un modèle sur une tâche plus vaste, comme la classification d'ImageNet, puis à affiner ce modèle sur le CIFAR-10. Cela permet d'exploiter les caractéristiques apprises sur un ensemble de données plus grand et plus diversifié, améliorant ainsi les performances sur le CIFAR-10.

Aujourd'hui, les meilleures performances sur le CIFAR-10 étaient obtenues grâce à des architectures de réseaux neuronaux convolutifs profonds, parfois combinées à des techniques d'augmentation des données et de régularisation, pour une précision d'environ 99,7% pour le meilleur modèle.

## 5 Méthodes d'extraction et modèles utilisés

Pour ce projet, nous avons utilisé 3 méthodes d'extraction de features ainsi que 3 modèles de classification, pour un total de 9 modèles. Les 3 méthodes d'extraction de features sont les suivantes :

- Vecteur aplati des images
- Extraction HOG
- Extractions de couleur au format HSV

Les 3 modèles de classification utilisés sont les suivants :

- Régression logistique One VS All
- Random forest
- Classification par descente de gradient stochastique (SGD Classifier)

## 6 Extraction de couleurs au format HSV

L'extraction de couleur est une étape courante du traitement d'images et de la vision par ordinateur, surtout lorsqu'on veut utiliser les couleurs comme caractéristiques d'une image. Voici une description générale des étapes couramment utilisées lors de l'extraction de couleurs :

- Conversion de couleur : La plupart des images sont en format RGB, il a donc fallu les convertir au format HSV.
- Quantification de couleur : Une fois l'image convertie dans l'espace colorimétrique approprié, les valeurs de couleur continues sont souvent quantifiées en un nombre plus petit de bacs ou de niveaux de couleur. Dans notre cas, chaque canal couleur a été divisé en 8 bacs, toutes les couleurs tombant dans le même bac de valeurs seront traitées comme identiques.
- Calcul d'histogramme : Pour chaque pixel de l'image, on compte dans quel bac tombent ses valeurs de couleur, et on incrémente le compte correspondant. Cela donne un histogramme qui est une représentation de la distribution des couleurs dans l'image.
- Normalisation : Enfin, l'histogramme est souvent normalisé pour que sa somme ou sa norme soit égale à 1. Cela rend la représentation de couleur invariante à la taille de l'image : une grande image et une petite image avec les mêmes couleurs auront le même histogramme. Dans notre cas, ce n'est pas utile car toutes les images sont au format 32x32. Néanmoins, cette normalisation permet tout de même d'améliorer les performances.

Ces étapes fournissent une représentation simple et compacte de la couleur d'une image, qui peut être utilisée pour des tâches comme la classification d'images, la recherche d'images, la détection d'objets, etc.

### 6.1 Random Forest

#### 6.1.1 Recherche des hyperparamètres

Pour ce modèle, nous avons réalisé un grid search sur 4 hyperparamètres :

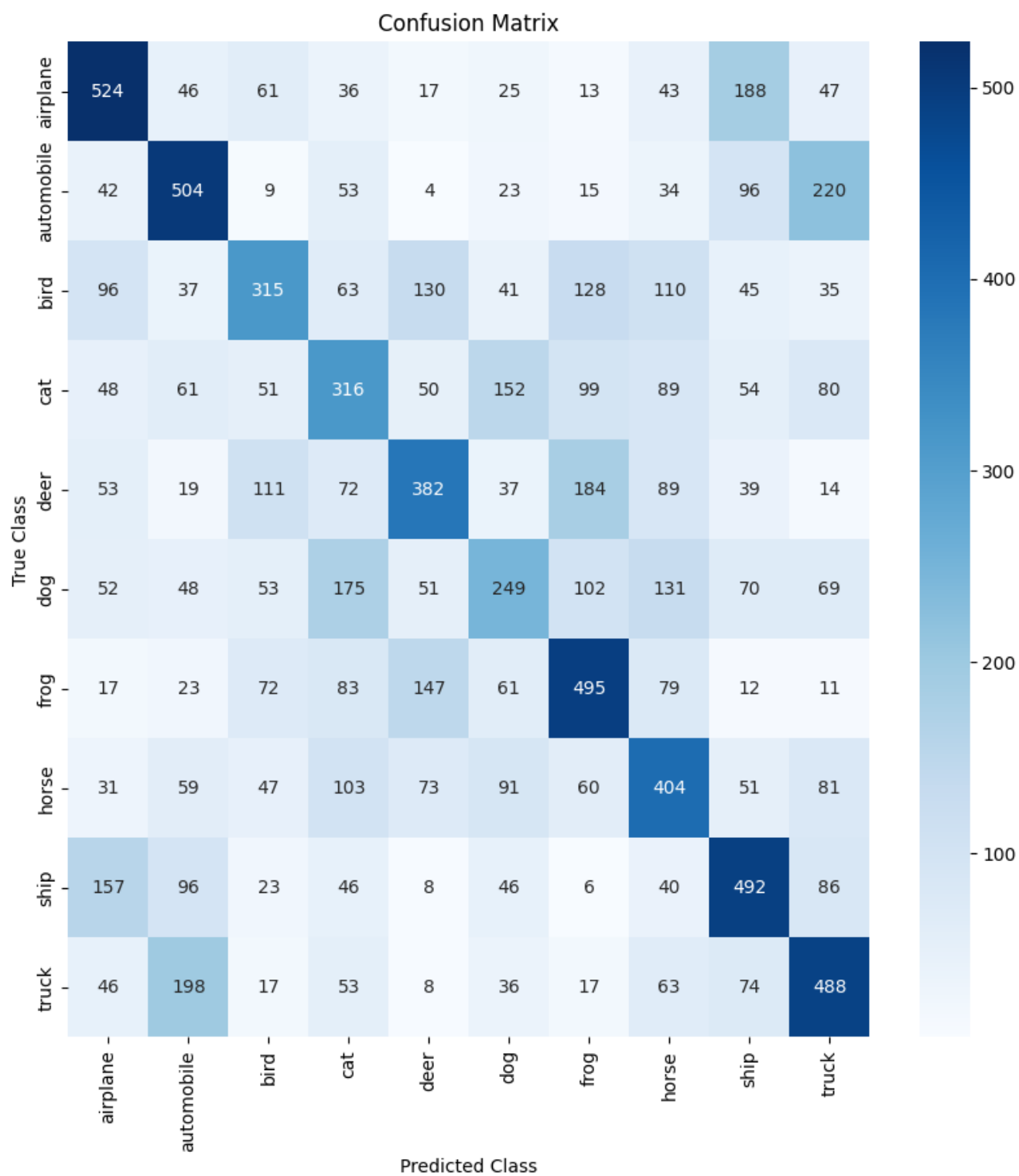
- `n_estimators` ([50, 100]) : Il s'agit du nombre d'arbres dans la forêt. Plus il y a d'arbres, plus le modèle sera robuste et moins susceptible d'être sujet au surapprentissage, à défaut d'augmenter le temps de calcul.
- `max_depth` ([None, 10, 20]) : Il s'agit de la profondeur maximale de chaque arbre. Une profondeur trop élevée peut conduire à un modèle susceptible de surapprendre. Une profondeur plus faible peut conduire à un modèle plus simple, mais peut également entraîner un sous-apprentissage.
- `min_samples_split` ([5, 10]) : Il s'agit du nombre minimum d'échantillons requis pour diviser un nœud interne. C'est-à-dire que si un nœud a moins d'échantillons que `min_samples_split`, il ne sera pas divisé, et l'algorithme arrêtera de chercher des divisions pour ce nœud.
- `min_samples_leaf` ([1, 2, 4]) : C'est le nombre minimum d'échantillons requis pour être à un nœud feuille.

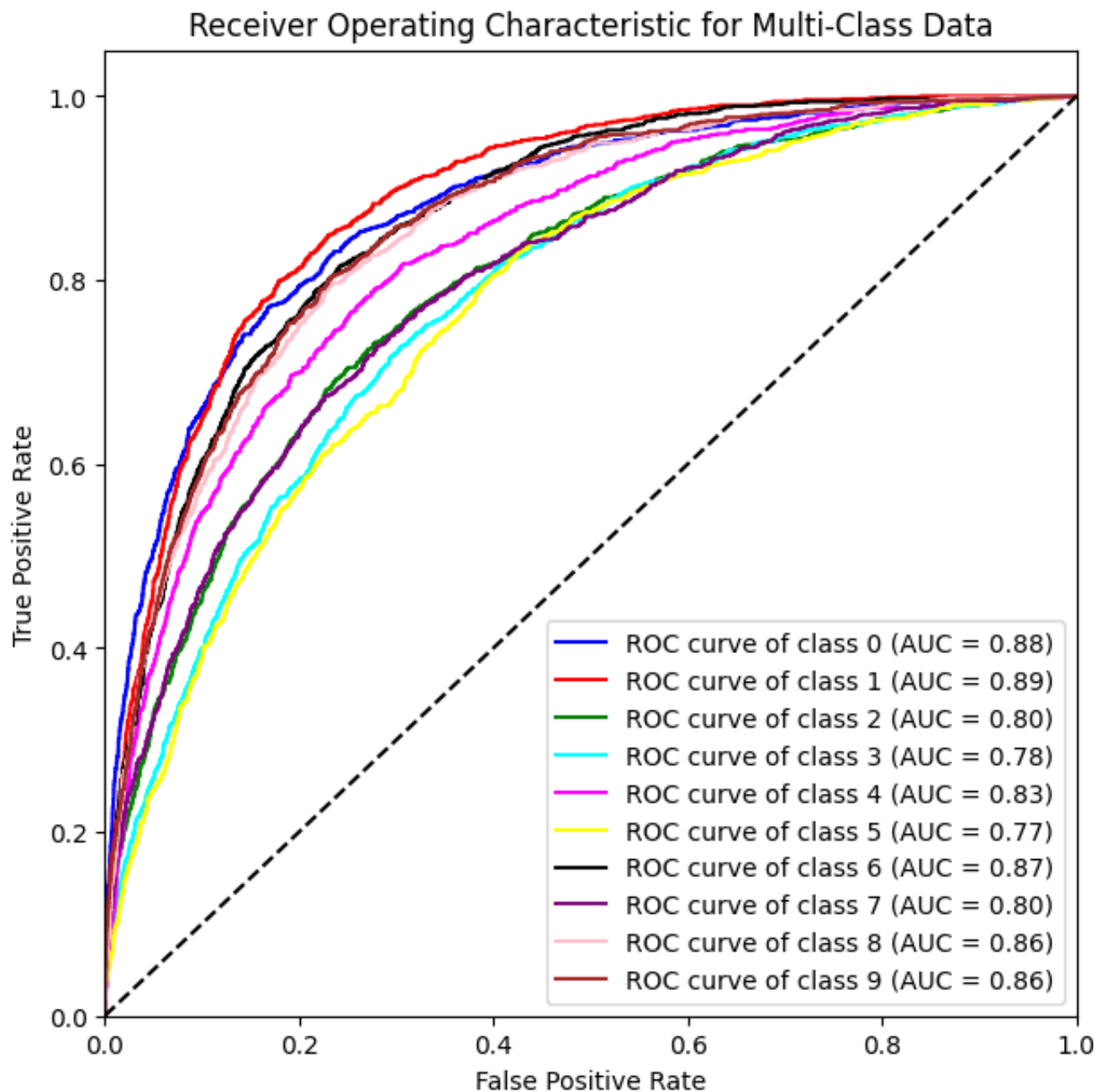
Avec ces choix de valeurs, nous avons obtenue la meilleure combinaison suivante :

- `'n_estimators'` : 100
- `'max_depth'` : None
- `'min_samples_split'` : 5
- `'min_samples_leaf'` : 1

#### 6.1.2 Précision obtenue et visualisation

Pour ce modèle, nous avons obtenue une précision de 41,72%, avec la matrice de confusion et les courbes ROC suivantes :





## 6.2 Régression logistique

### 6.2.1 Recherche des hyperparamètres

Pour ce modèle, nous avons réalisé un grid search sur 2 hyperparamètres :

- $C$  ([0.01, 0.1, 1, 10]) : Dans les modèles de régression logistique,  $C$  est le paramètre de régularisation inverse. La régularisation est une technique utilisée pour prévenir le surapprentissage en ajoutant une pénalité à la complexité du modèle. Une valeur plus petite pour  $C$  spécifie une régularisation plus forte, c'est-à-dire une plus grande pénalité pour la complexité du modèle, ce qui peut aider à prévenir le surapprentissage.
- `penalty` ('l1', 'l2') : Cet hyperparamètre spécifie le type de pénalité de régularisation à utiliser. Les options typiques pour `penalty` sont 'l1', 'l2'. 'l1' correspond à la régularisation Lasso, qui tend à produire des modèles

avec moins de coefficients non nuls. 'l2' correspond à la régularisation Ridge, qui tend à réduire tous les coefficients vers zéro, mais n'élimine pas complètement les caractéristiques.

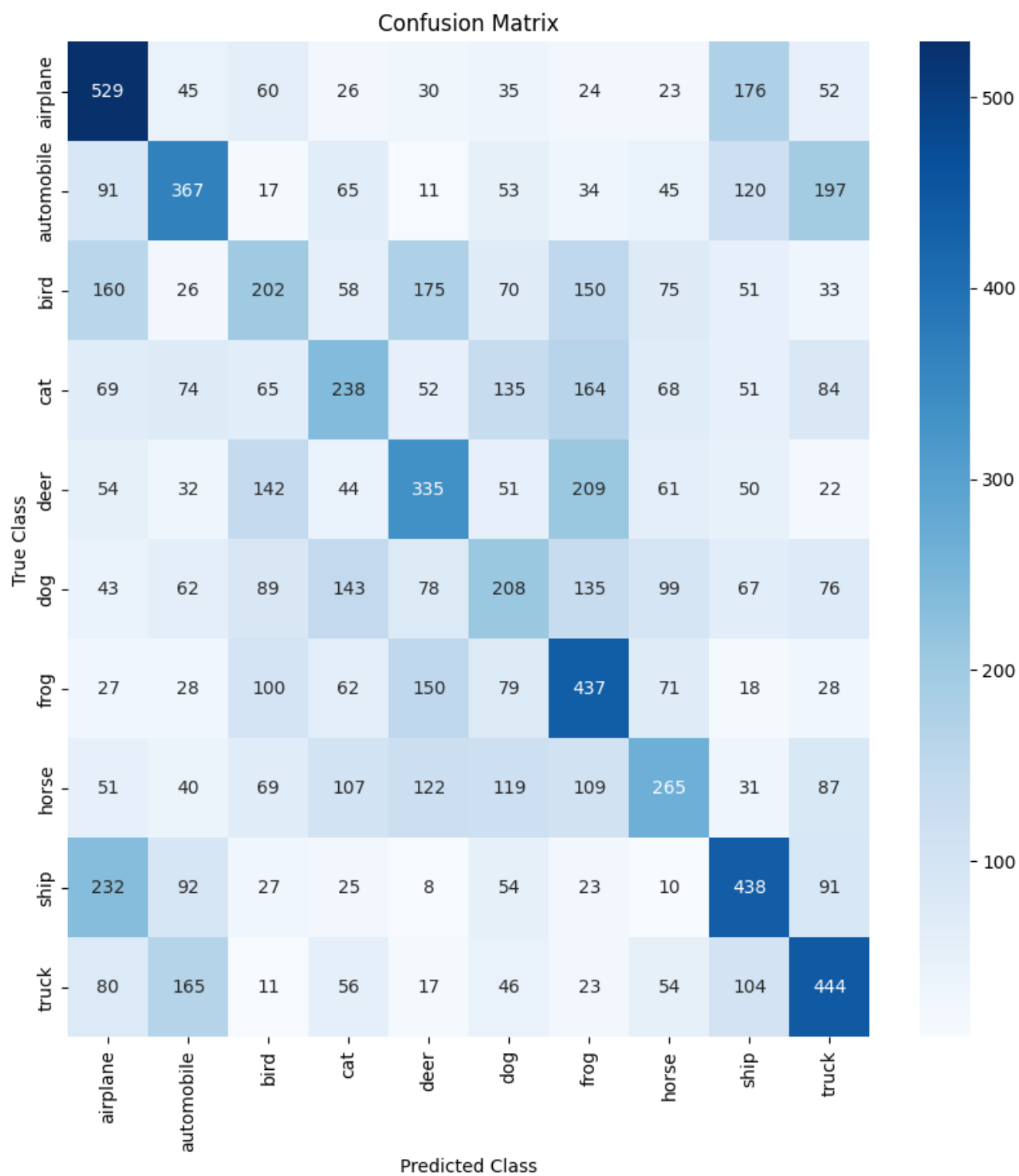
Avec ces choix de valeurs, nous avons obtenue la meilleure combinaison suivante :

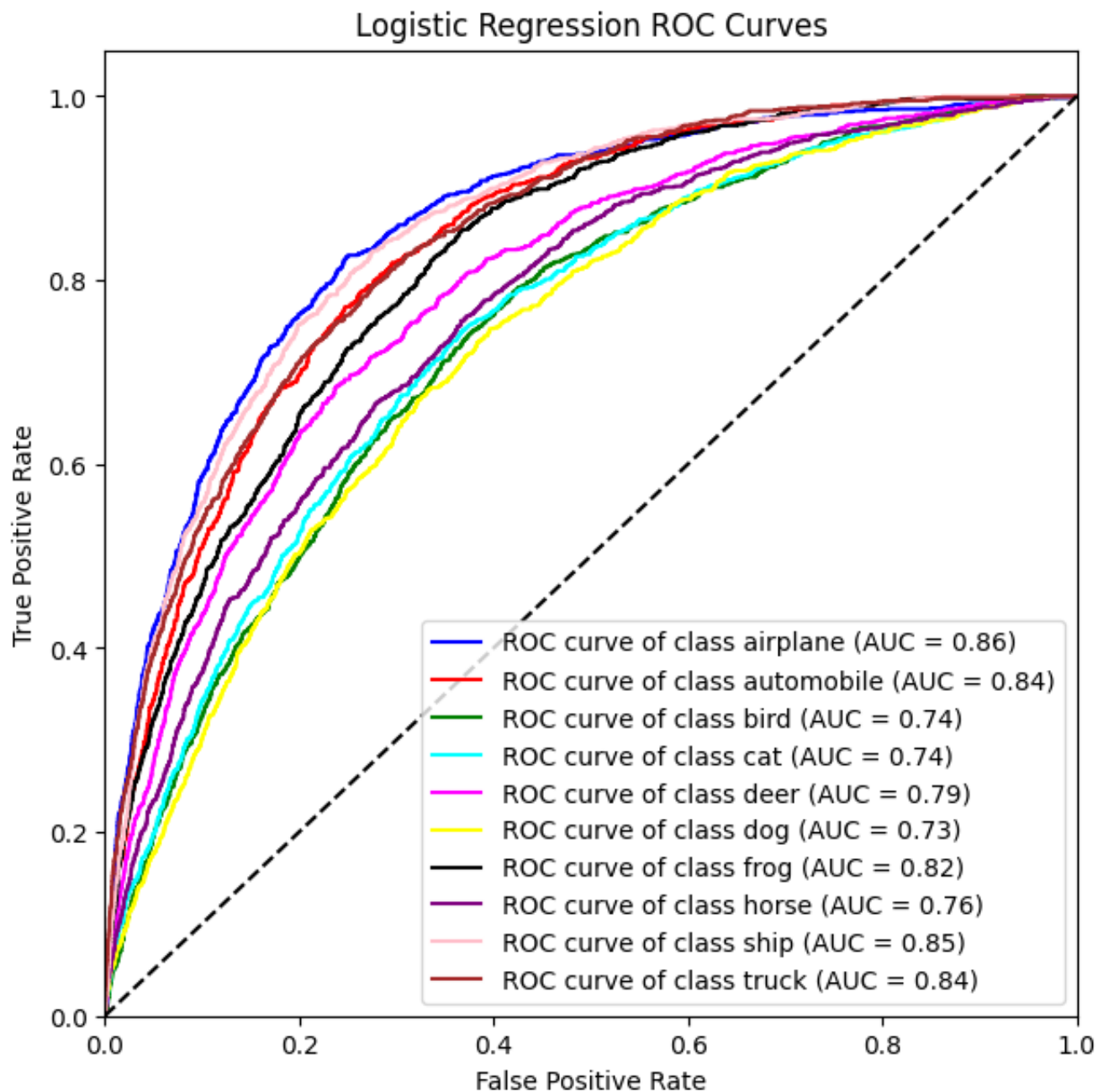
- C : 1
- penalty : L2

### **6.2.2 Précision obtenue et visualisation**

Pour ce modèle, nous avons obtenue une précision de 34,63%, avec la matrice de confusion et les courbes ROC suivantes :







## 6.3 SGD Classifier

### 6.3.1 Recherche des hyperparamètres

Pour ce modèle, nous avons réalisé un grid search sur 2 hyperparamètres :

- `loss` (`['hinge', 'log']`) : Il s'agit de la fonction de perte à utiliser. 'hinge' est la fonction de perte standard pour les SVM, tandis que 'log' donne une régression logistique, une approche probabiliste de la classification binaire.
- `alpha` (`[0.001, 0.01, 0.1, 1]`) : C'est essentiellement le contraire du paramètre `C` dans une régression logistique, c'est-à-dire qu'une valeur plus élevée de `alpha` signifie une régularisation plus forte (plus de pénalité sur la complexité du modèle), ce qui peut aider à prévenir le surapprentissage.

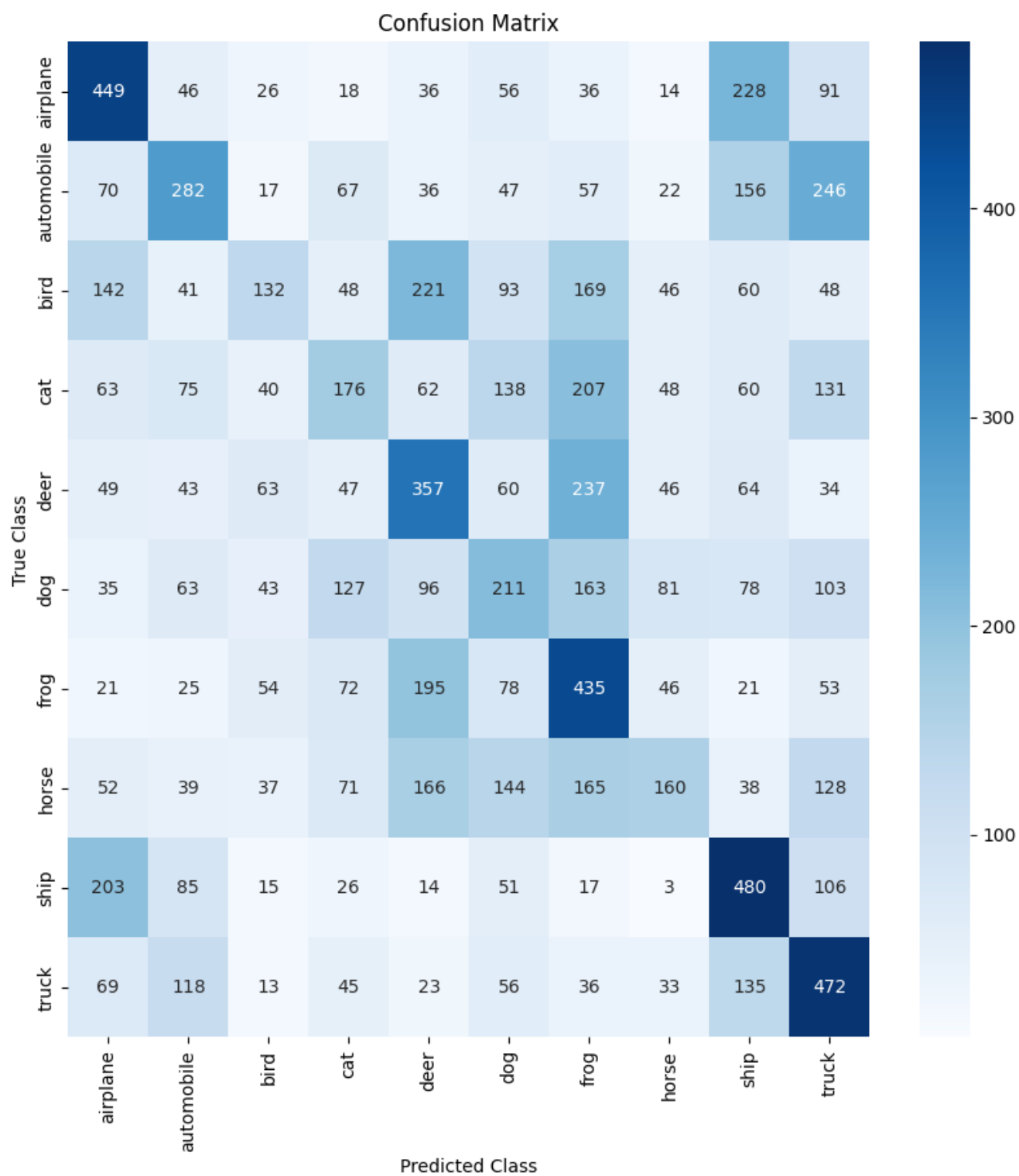
- `penalty` (`'l1'`, `'l2'`) : Semblable à la régression logistique, cet hyperparamètre spécifie le type de pénalité de régularisation à utiliser.

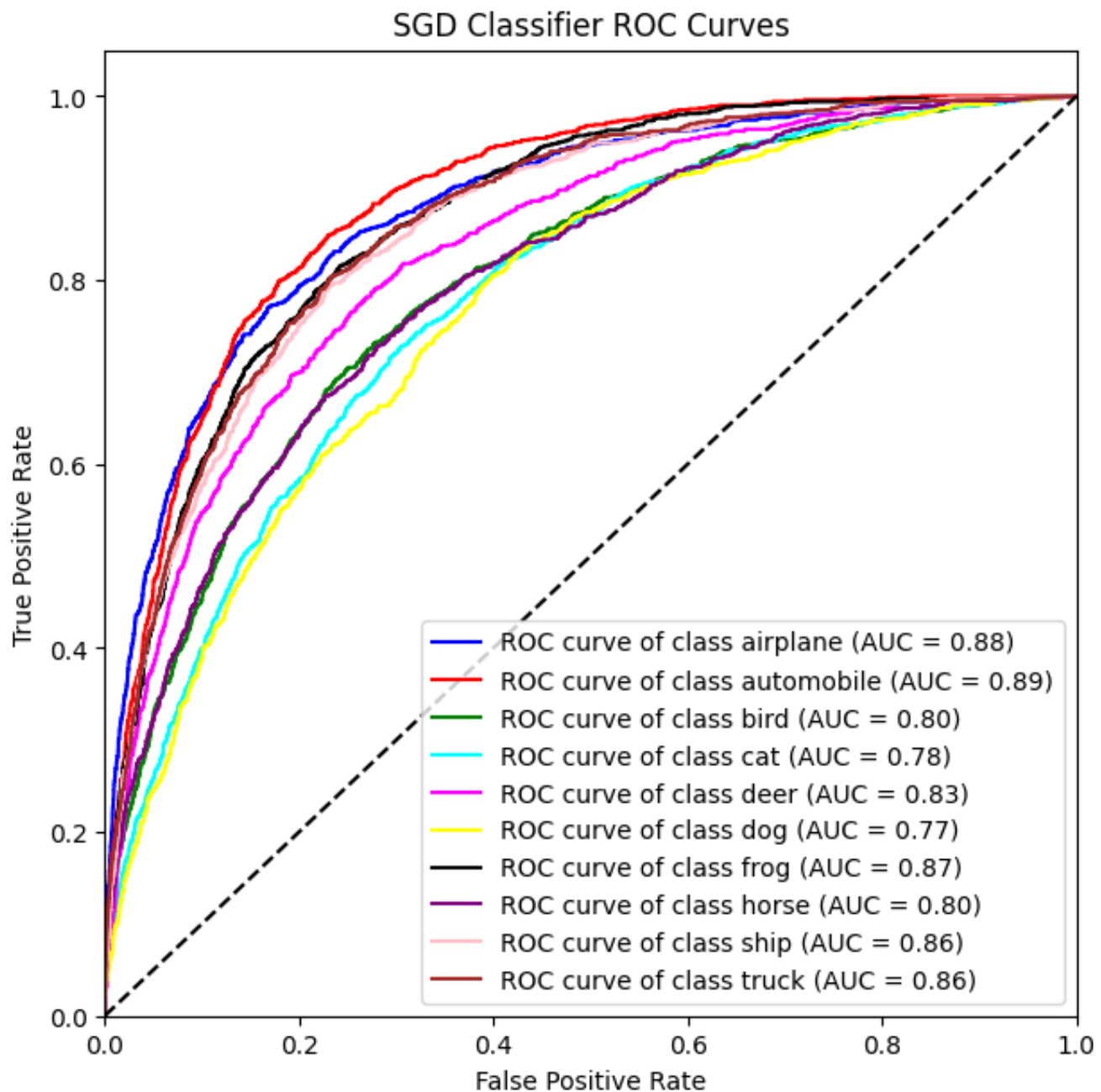
Avec ces choix de valeurs, nous avons obtenue la meilleure combinaison suivante :

- `loss` : `log`
- `alpha` : 0,001
- `penalty` : `L2`

### **6.3.2 Précision obtenue et visualisation**

Pour ce modèle, nous avons obtenue une précision de 31,54%, avec la matrice de confusion et les courbes ROC suivantes :





## 6.4 Interprétation des résultats

Les résultats obtenus ont montré que nos modèles ont du mal à différencier certaines classes, comme le montrent les erreurs fréquentes dans la matrice de confusion.

En particulier, nous avons constaté que nos modèles confondent souvent les bateaux et les avions, ainsi que les avions et les oiseaux. Il y a également une confusion notable entre les camions et les voitures. Cette difficulté à différencier ces paires spécifiques peut être attribuée à plusieurs facteurs potentiels.

Un facteur clé que nous avons identifié est notre méthode d'extraction de caractéristiques, qui se concentre sur les couleurs présentes dans les images. Les bateaux et les avions, par exemple, apparaissent souvent en bleu dans les images en raison de leur association avec le ciel ou l'eau. De même, les avions et les oiseaux peuvent tous deux être associés au ciel bleu, ce qui peut expliquer pourquoi ils sont fréquemment confondus. Pour les camions et les voitures, ils partagent souvent des couleurs similaires en raison de leur contexte similaire et de leur fabrication.

Il est clair que bien que l'extraction de la couleur soit une caractéristique utile, elle n'est pas suffisante pour différencier de manière fiable ces classes d'images. Les formes, les textures et le contexte spatial sont d'autres caractéristiques visuelles importantes qui pourraient aider à améliorer la précision des différents modèles.

## 7 Extraction HOG (Histogram of Gradients)

La méthode Histogram of Oriented Gradients est une technique qui compte le nombre d'occurrences de dégradés d'orientation d'image (directions de plus grand changement d'intensité lumineuse) dans des parties localisées de l'image. Les étapes du calcul des caractéristiques HOG sont les suivantes :

Normalisation de l'image : Avant de calculer les gradients, l'image est généralement normalisée pour réduire les effets d'éclairage.

Calcul du Gradient d'Image : La première étape du calcul HOG consiste à calculer le gradient d'image. Cela signifie que pour chaque pixel, nous voulons regarder les pixels qui l'entourent et trouver la direction de plus grand changement d'intensité lumineuse (ou de couleur).

Encodage des gradients : Les gradients calculés sont ensuite encodés pour chaque pixel. L'encodage le plus courant est l'encodage de l'orientation du gradient et de l'amplitude (ou de la magnitude).

Création des histogrammes orientés : L'image est divisée en petites cellules (8x8 pixels chacune dans notre cas), et pour les pixels dans chaque cellule, un histogramme de directions de gradient est compilé.

Normalisation : Les histogrammes de cellules sont ensuite groupés en blocs plus grands (1 bloc = 2x2 cellules dans notre cas) et les histogrammes dans chaque bloc sont normalisés. La normalisation réduit l'effet des variations d'éclairage.

Création du descripteur HOG : Le descripteur HOG final de l'image est alors le vecteur de tous les histogrammes normalisés des blocs de l'image.

A noter donc que, dans notre cas, comme on travaille avec des images de 32x32 pixels, une image contient  $(32/8) \times (32/8) = 4 \times 4 = 16$  cellules. Et le nombre total de blocs est  $(4/2) \times (4/2) = 2 \times 2 = 4$  blocs, puisque chaque bloc contient 2x2 cellules.

### 7.1 Random Forest

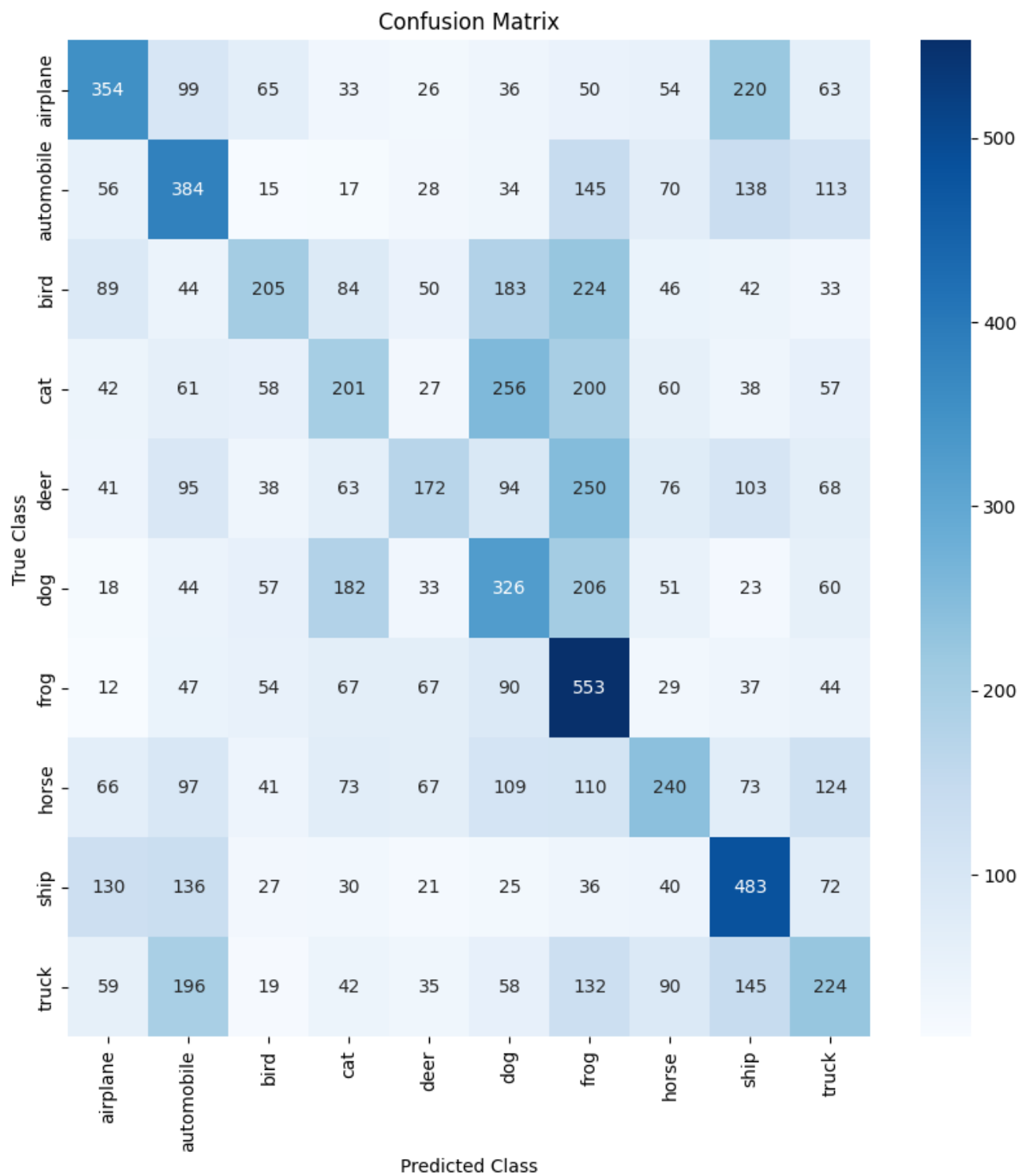
#### 7.1.1 Recherche des hyperparamètres

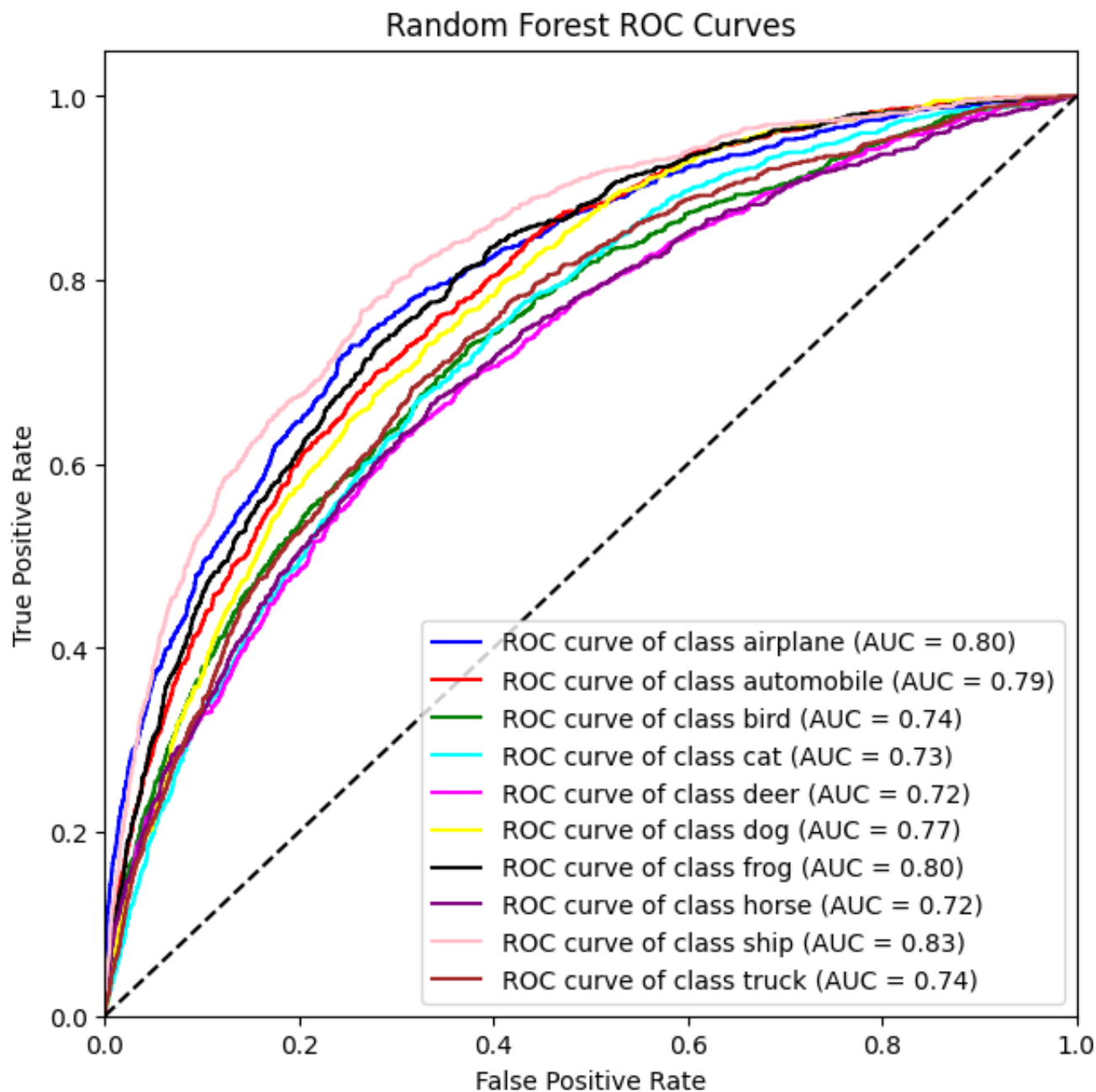
Avec les mêmes choix de valeurs que pour le précédent modèle Random Forest, nous avons obtenue la meilleure combinaison suivante :

- 'n\_estimators' : 100
- 'max\_depth' : 20
- 'min\_samples\_split' : 10
- 'min\_samples\_leaf' : 2

#### 7.1.2 Précision obtenue et visualisation

Pour ce modèle, nous avons obtenue une précision de 31,42%, avec la matrice de confusion et les courbes ROC suivantes :





## 7.2 Régression logistique

### 7.2.1 Recherche des hyperparamètres

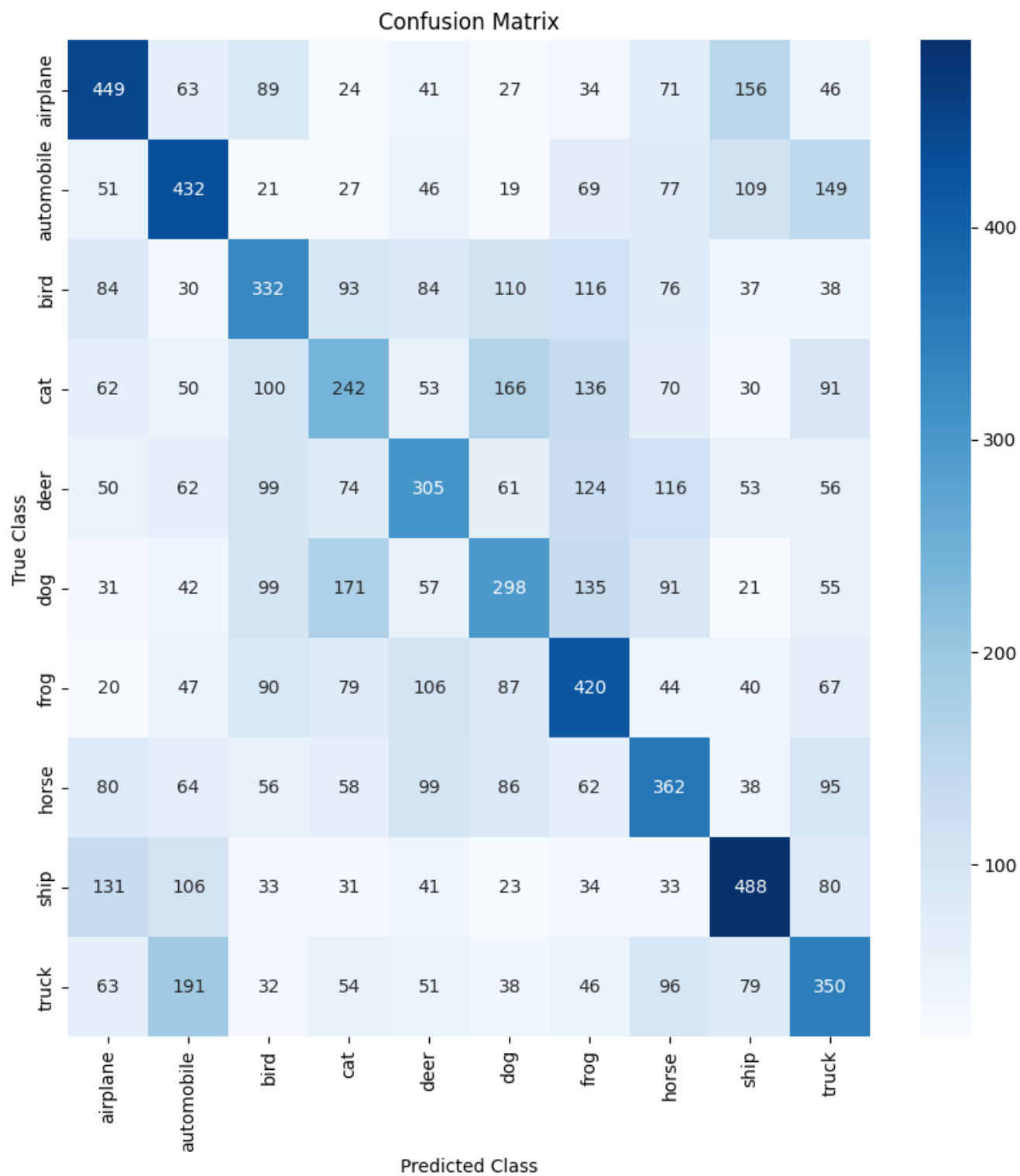
Avec les mêmes choix de valeurs que pour le précédent modèle de régression logistique, nous avons obtenue la meilleure combinaison suivante :

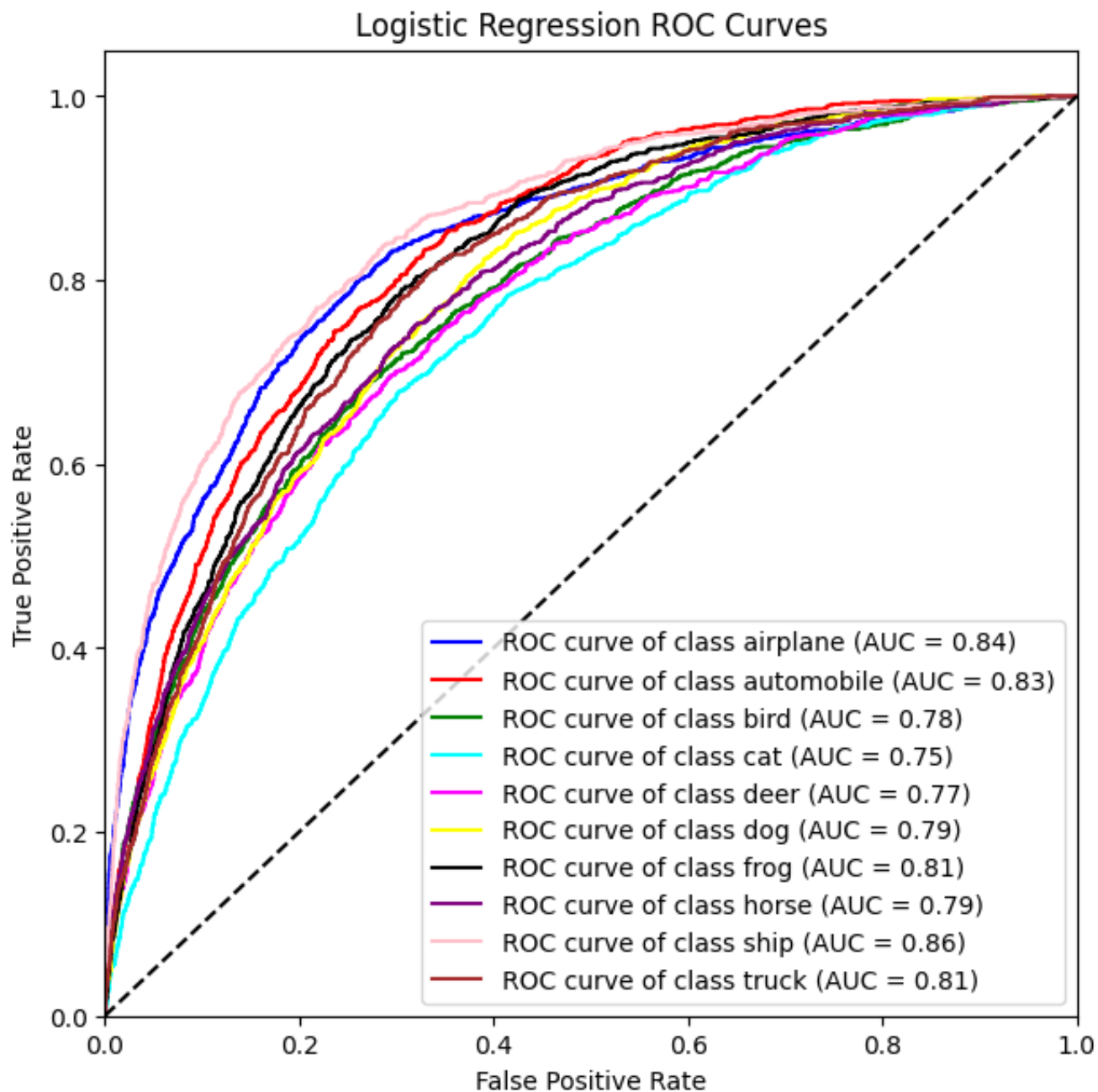
- C : 0,1
- penalty : L2

### 7.2.2 Précision obtenue et visualisation

Pour ce modèle, nous avons obtenue une précision de 36,78%, avec la matrice de confusion et les courbes ROC suivantes :







## 7.3 SGD Classifier

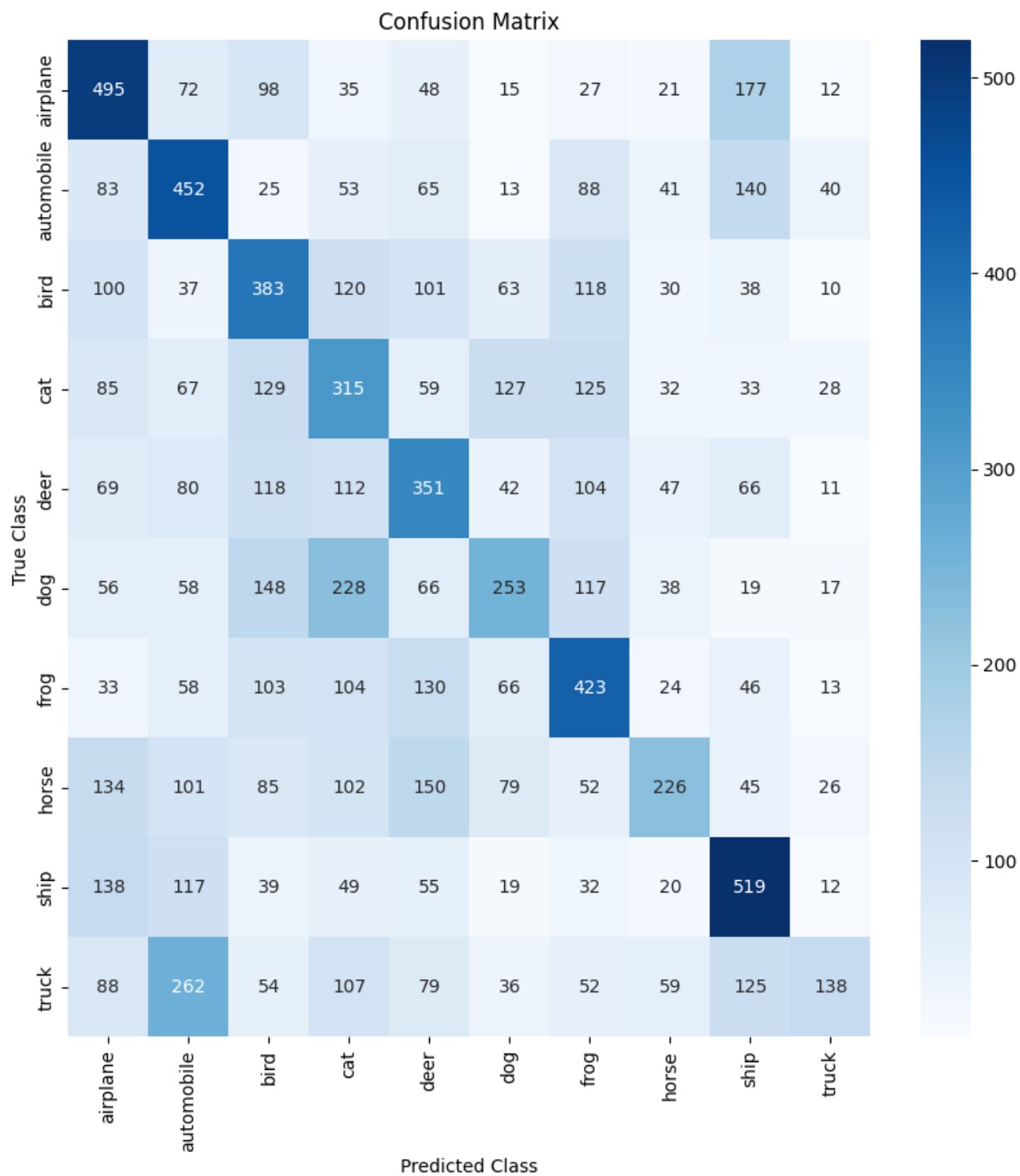
### 7.3.1 Recherche des hyperparamètres

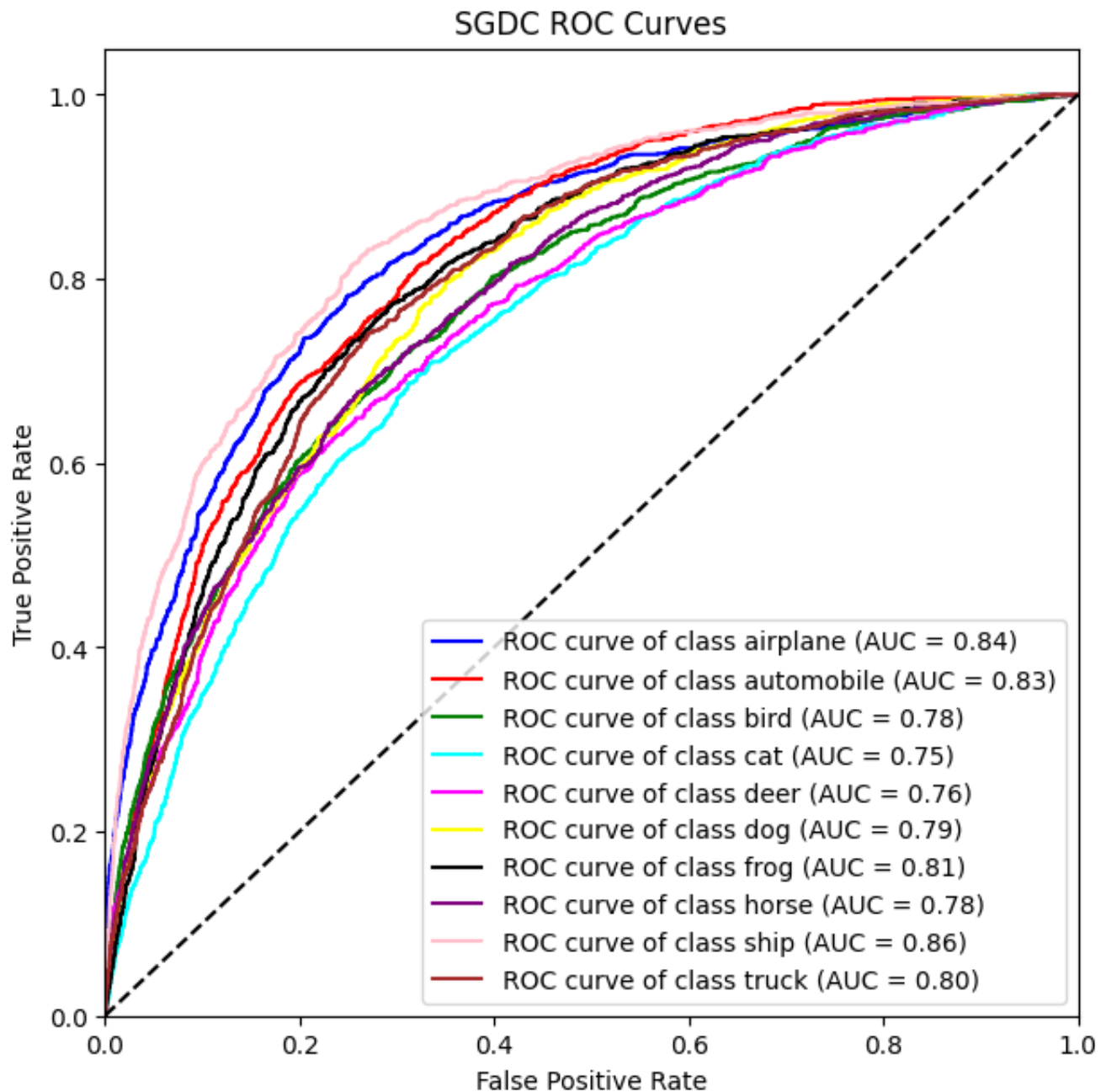
Avec les mêmes choix de valeurs que pour le précédent modèle SGDC, mais sans paramètre de pénalité, nous avons obtenue la meilleure combinaison suivante :

- loss : log
- alpha : 0,001

### 7.3.2 Précision obtenue et visualisation

Pour ce modèle, nous avons obtenue une précision de 35,55%, avec la matrice de confusion et les courbes ROC suivantes :





#### 7.4 Interprétation des résultats

On remarque des résultats assez similaires que précédemment pour la régression logistique et le SGDC, avec des confusions similaires qui pourraient s'expliquer de la même manière, à la différence qu'ici, la similarité entre avion et bateau ne se fait pas sur les couleurs mais sur la variation d'intensité de couleurs qui est proche. En revanche, on observe une chute de précision d'environ 10% pour le modèle Random Forest que nous n'avons pas été capable d'expliquer.

## 8 Extraction sous forme de vecteurs aplatis

Ici, il ne s'agit en réalité pas d'une extraction à proprement parler puisqu'on utilise la données brutes que l'on a converti sous forme de vecteur.

## **8.1 Random Forest**

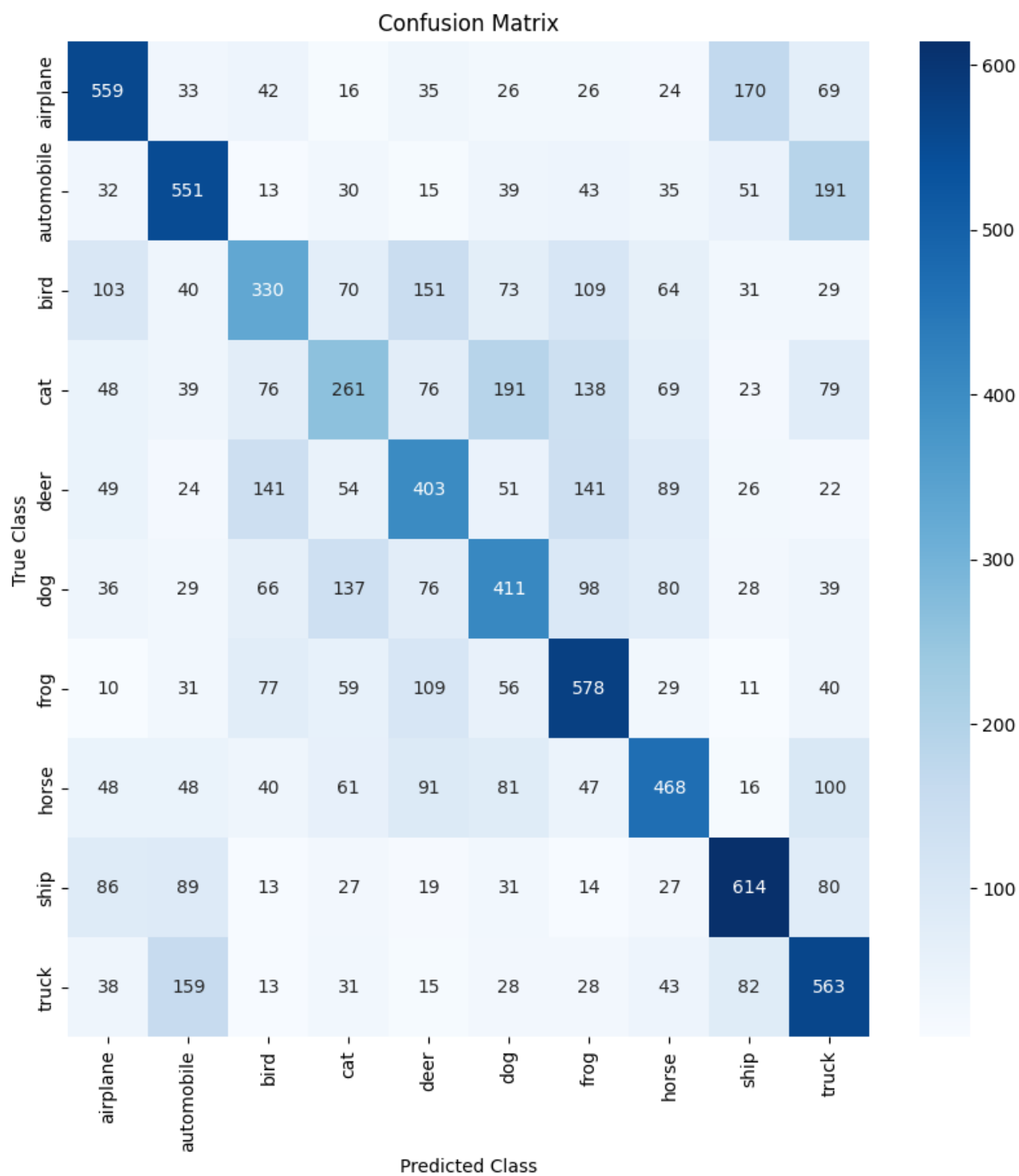
### **8.1.1 Recherche des hyperparamètres**

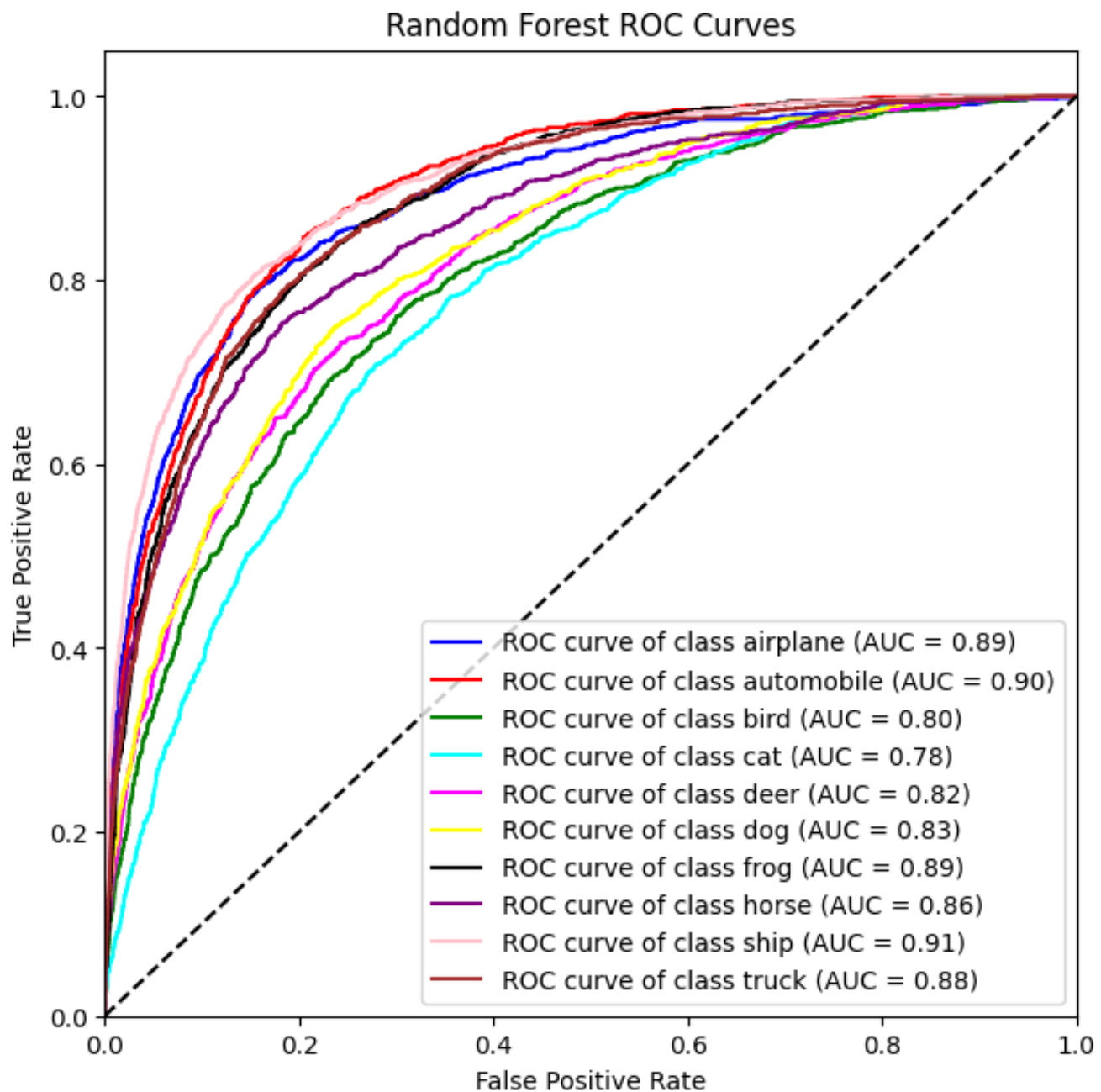
Avec les mêmes choix de valeurs que pour les précédents modèles Random Forest, nous avons obtenue la meilleure combinaison suivante :

- 'n\_estimators' : 100
- 'max\_depth' : None
- 'min\_samples\_split' : 5
- 'min\_samples\_leaf' : 2

### **8.1.2 Précision obtenue et visualisation**

Pour ce modèle, nous avons obtenue une précision de 47,38%, avec la matrice de confusion et les courbes ROC suivantes :





## 8.2 Régression logistique

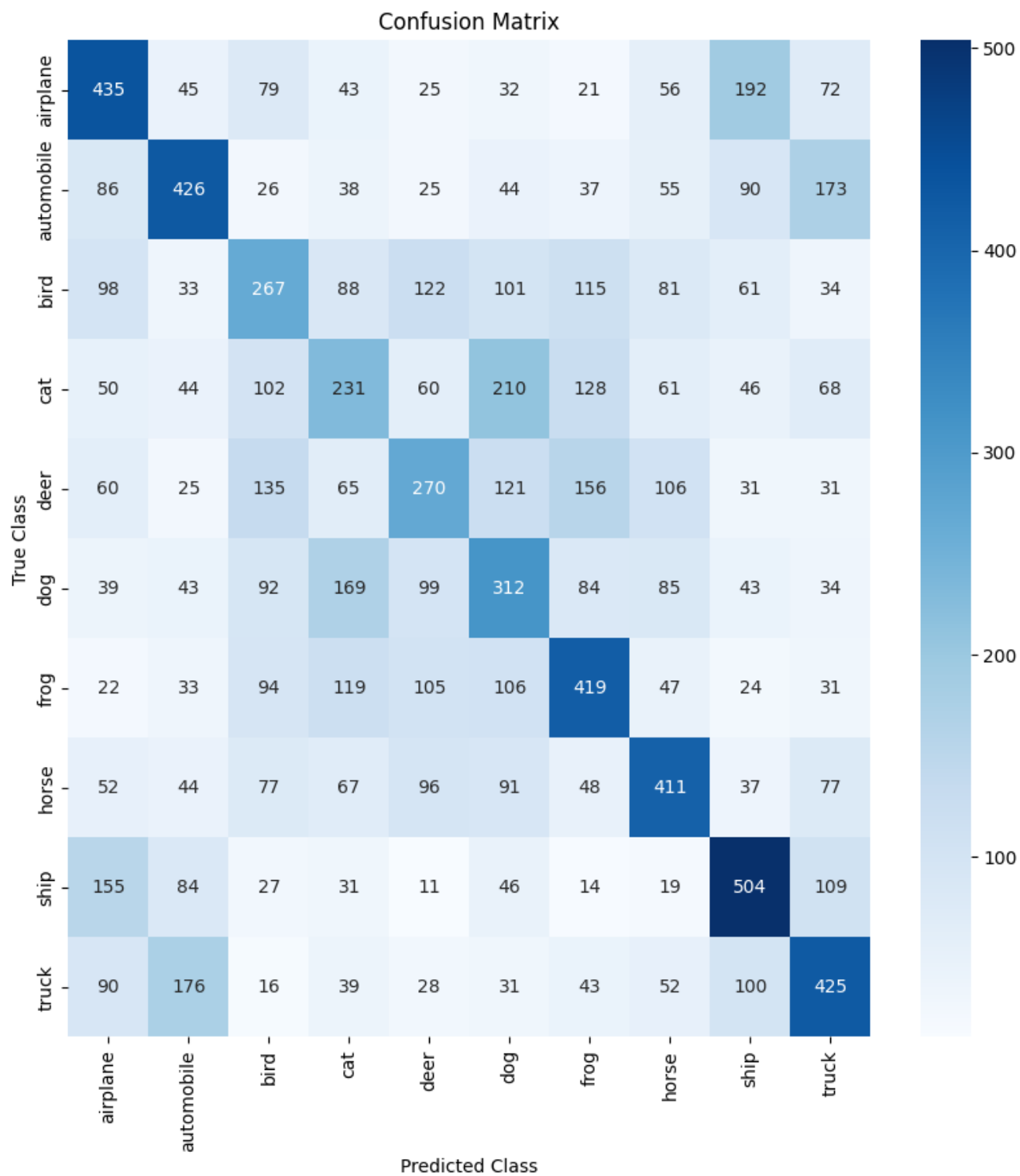
### 8.2.1 Recherche des hyperparamètres

Avec les mêmes choix de valeurs que pour les précédents modèles de régression logistique, mais cette fois-ci sans pénalité, nous avons obtenue la meilleure combinaison suivante :

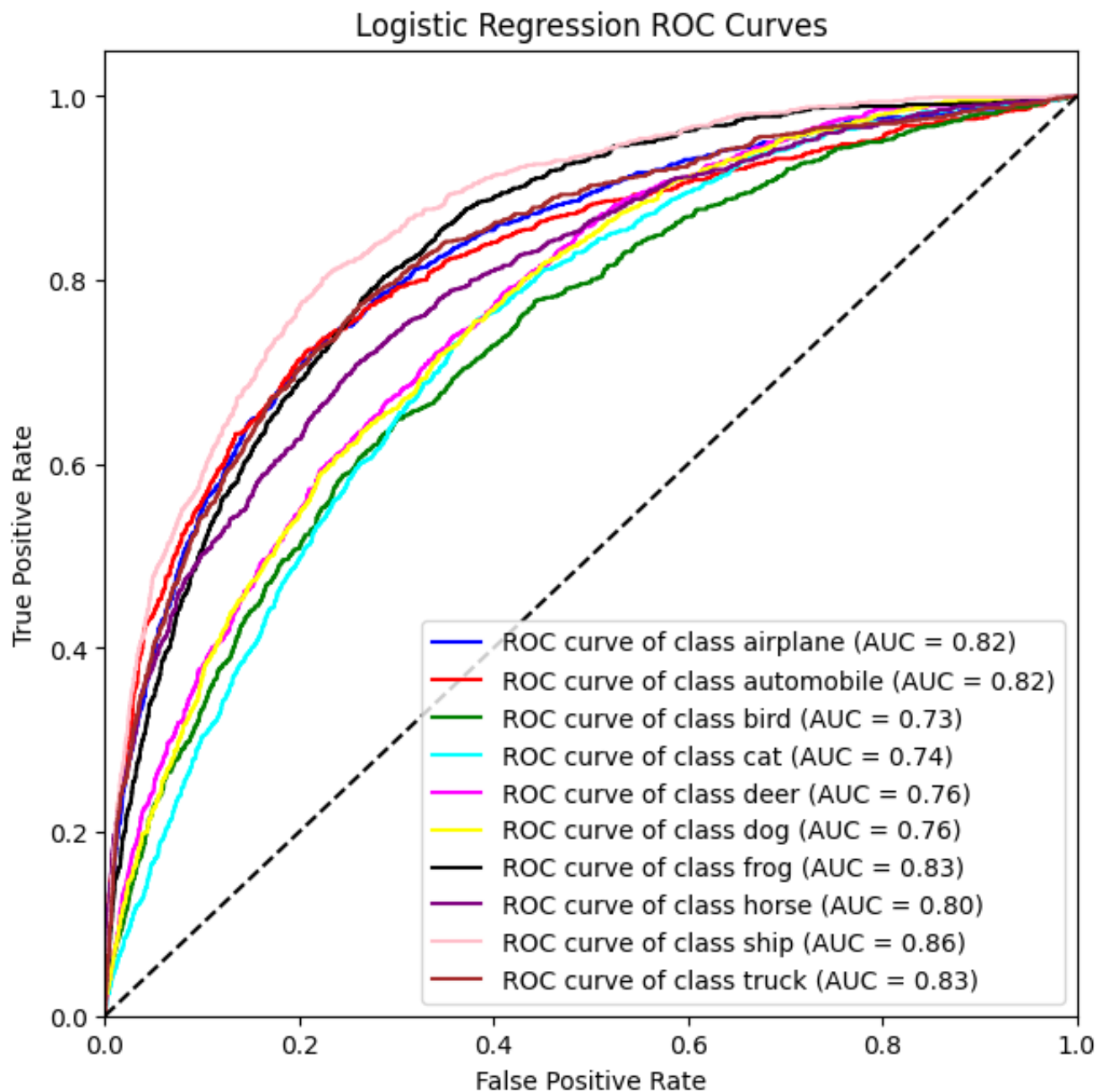
— C : 0,1

### 8.2.2 Précision obtenue et visualisation

Pour ce modèle, nous avons obtenue une précision de 37%, avec la matrice de confusion et les courbes ROC suivantes :







## 8.3 SGD Classifier

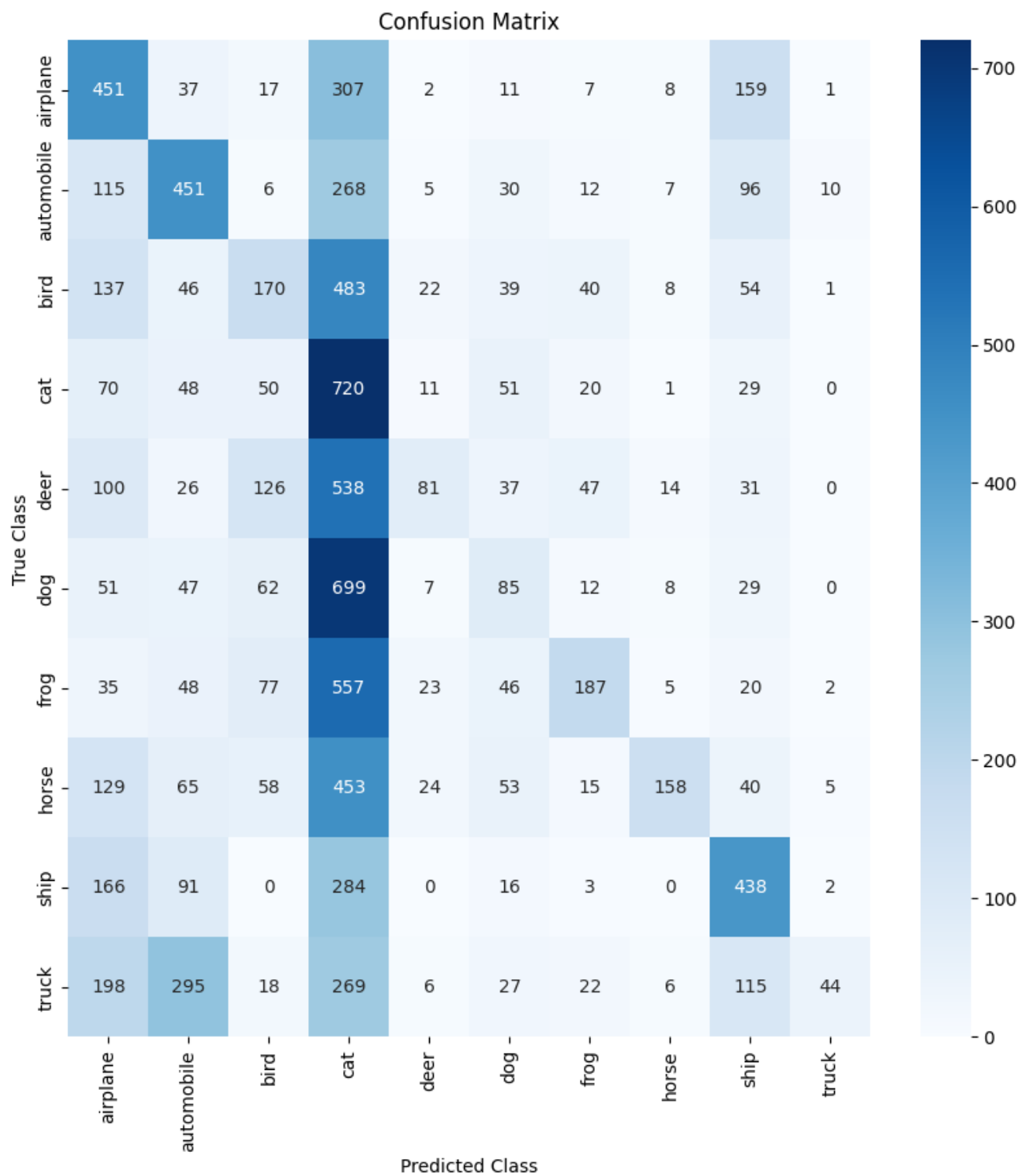
### 8.3.1 Recherche des hyperparamètres

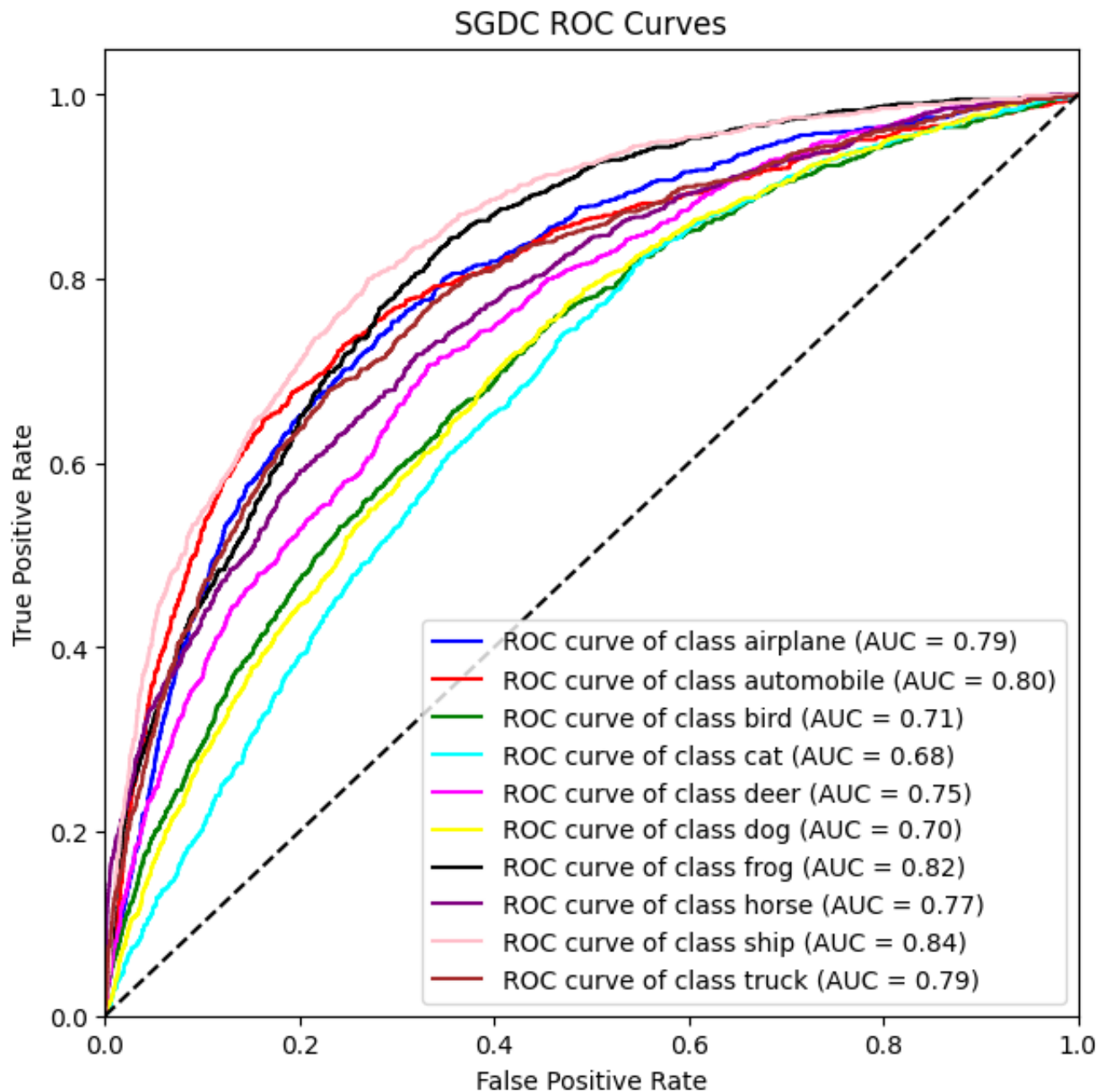
Avec les mêmes choix de valeurs que pour le précédent modèle SGDC, nous avons obtenue la meilleure combinaison suivante :

- loss : log
- alpha : 1

### 8.3.2 Précision obtenue et visualisation

Pour ce modèle, nous avons obtenue une précision de 27,85%, avec la matrice de confusion et les courbes ROC suivantes :





#### 8.4 Interprétation des résultats

On remarque des résultats assez similaires que précédemment pour la régression logistique. En revanche, on observe une grosse perte de précision pour SGDC, et, en observant la matrice de confusion, on s'aperçoit que le modèle prédit très souvent la classe "chat", peu importe la classe à prédire, ce qui se remarque aussi sur la courbe ROC. D'autre part, on obtient un réel gain de précision avec le modèle Random Forest.

## 9 Résumé des précisions

	HSV	HOG	Donnée brute
Random Forest	41,72%	31,42%	47,38%
Régression logistique	34,63%	36,78%	37%
SGD Classifier	31,54%	35,55%	Cell 27,85%

## 10 Conclusion

En conclusion, l'étude a permis d'évaluer plusieurs modèles de classification d'images pour le jeu de données CIFAR-10, en utilisant diverses techniques d'extraction de caractéristiques : les données brutes, l'histogramme des teintes saturées en valeurs (HSV) et l'histogramme des gradients orientés (HOG). Trois types de modèles de machine learning ont été examinés : Random Forest, Régression logistique One VS All et SGD Classifier.

De manière surprenante, le modèle qui a produit la meilleure performance est celui qui a utilisé les données brutes, sans aucun prétraitement. En particulier, le modèle Random Forest a atteint une précision de 47,38%, nettement supérieure à celle obtenue avec les autres méthodes de prétraitement et modèles, qui ont généralement atteint une précision d'environ 30 à 35%.

Cela suggère que, dans ce cas particulier, les méthodes de prétraitement de données HSV et HOG n'ont pas réussi à capturer des caractéristiques significatives des images pour améliorer les performances de la classification. Il est possible que les modèles bénéficieraient de méthodes de prétraitement ou d'extraction de caractéristiques différentes, ou peut-être d'une combinaison de plusieurs méthodes.

Il convient également de noter que bien que la performance du modèle Random Forest utilisant des données brutes soit la plus élevée parmi les modèles testés, une précision de 47,38% est encore relativement faible, indiquant que la tâche de classification est complexe et qu'il reste une marge d'amélioration significative.

Enfin, cette étude montre l'importance de l'expérimentation en apprentissage automatique. Il n'est pas toujours évident à l'avance quelles techniques fonctionneront le mieux pour un problème donné, et souvent, des approches simples peuvent surpasser des méthodes plus sophistiquées, ce qui n'est au premier abord pas évident. Il est donc important d'explorer une variété de techniques et d'approches pour chaque tâche.